

人单核细胞对煤焦沥青烟提取物诱导人永生化支气管上皮细胞c-Jun mRNA表达的影响

刘文佳, 宋金燕, 杨维超, 音乐飞, 王威, 姚武, 吴卫东, 吴逸明, 燕贞

摘要: [目的] 探讨人单核细胞对煤焦沥青烟提取物(CTPE)处理人永生化支气管上皮细胞中c-Jun mRNA表达的影响。[方法] 用3 μg/mL CTPE刺激人永生化支气管上皮细胞(CTPE组), 及人单核细胞共培养的人永生化支气管上皮细胞(CC组), 设立二甲基亚砜对照组; 分别收集各组1、5、10、15、20代细胞。将CC组第9代细胞分别常规培养至10代(CC10组)、15代(CC15组), 加入100 μg/mL肿瘤坏死因子-α中和抗体培养至15代(中和抗体组)。应用实时荧光定量聚合酶链式反应检测各组细胞中c-Jun mRNA的表达水平。[结果] 15、20代CC组人永生化支气管上皮细胞c-Jun mRNA相对表达水平高于CTPE组和二甲基亚砜对照组(均P<0.05); 中和抗体组c-Jun mRNA的相对表达水平高于CC10组, 低于CC15组(均P<0.05)。[结论] 人单核细胞可能通过肿瘤坏死因子-α调控CTPE诱导人永生化支气管上皮细胞c-Jun mRNA的表达。

关键词: 煤焦沥青烟提取物; c-Jun mRNA; 人单核细胞; 肿瘤坏死因子-α

Effect of Human Acute Monocytic Leukemia Cells on Coal Tar Pitch Extract-Induced c-Jun mRNA Expression in Human Bronchial Epithelial Cells LIU Wen-jia, SONG Jin-yan, YANG Wei-chao, JIN Yue-fei, WANG Wei, YAO Wu, WU Wei-dong, WU Yi-ming, YAN Zhen (Department of Occupational Health, College of Public Health, Zhengzhou University, Henan 450001, China). Address correspondence to YAN Zhen, E-mail: yanzen@zzu.edu.cn • The authors declare they have no actual or potential competing financial interests.

Abstract: [Objective] To explore the effect of human acute monocytic leukemia cells (THP-1) on c-Jun mRNA expression induced by coal tar pitch extract (CTPE) in human bronchial epithelial cells (BEAS-2B). [Methods] BEAS-2B cells (CTPE group) and co-cultured BEAS-2B and THP-1 cells (CC group) were both simulated by 3 μg/mL CTPE, and dimethyl sulfoxide (DMSO) was used as vehicle control. The cells were collected at passage 1, 5, 10, 15, and 20. The co-cultured cells at passage 9 were further cultured to passage 10 (CC10 group) and passage 15 (CC15 group), and added 100 μg/mL tumor necrosis factor-α (TNF-α) neutralizing antibody and further cultured to passage 15 (neutralizing antibody group). The expression of c-Jun mRNA was detected by real-time fluorescent quantitative polymerase chain reaction. [Results] The expression levels of c-Jun mRNA in BEAS-2B cells at passage 15 and 20 in the CC group were both increased compared with those in the CTPE and DMSO control group (P<0.05). The expression level of c-Jun mRNA after adding TNF-α neutralizing antibody was increased compared with the CC10 group and decreased compared with the CC15 group (P<0.05). [Conclusion] THP-1 could regulate the expression of c-Jun mRNA induced by CTPE through TNF-α in the BEAS-2B cells.

Key Words: coal tar pitch extract; c-Jun mRNA; human acute monocytic leukemia; tumor necrosis factor-α

煤焦沥青(coal tar pitch)是炼焦工业产生的副产物, 其烟气主要通过呼吸道和皮肤对机体造成毒性损害。流行病学调查和动物实验已经证实煤焦沥青具有致癌性, 职业接触煤焦沥青能增加肺癌和其他癌症的危险^[1]。有研究证实慢性炎症和肿瘤的发生发展

有重要关联^[2], 炎症在肿瘤的发生中主要通过免疫细胞的浸润发挥作用。肿瘤坏死因子-α(tumor necrosis factor-α, TNF-α)是炎症早期中最早出现的炎症因子, 并且存在于整个炎症过程, 可以调控其他炎症因子的活化及合成, 对炎症的发生与发展有重要意义^[3]。在慢性炎症中, TNF-α的长期表达可以启动肿瘤的发生^[4]。课题组前期实验表明人单核细胞(human acute monocytic leukemia cells)THP-1可促进煤焦沥青烟提取物(coal tar pitch smoke extracts, CTPE)诱导人永生化支气管上皮细胞(human bronchial epithelial cells)BEAS-2B的恶性转化, 且TNF-α的表达水平明显升高,

DOI: 10.13213/j.cnki.jeom.2015.14516

[基金项目]国家自然科学基金(编号: 81001240, 81001239)

[作者简介]刘文佳(1988—), 男, 硕士生; 研究方向: 职业肿瘤学;

E-mail: 540671357@qq.com

[通信作者]燕贞, E-mail: yanzen@zzu.edu.cn

[作者单位]郑州大学公共卫生学院劳动卫生学教研室, 河南 450001

提示 TNF- α 在细胞的恶性转化过程中发挥重要调节作用^[5]。激活蛋白(activity protein-1, AP-1)是早期编码的核转录因子,是由 *c-Jun* 与 *c-Fos* 形成具有生物活性的二聚体,在细胞受到刺激时能最先表达,是细胞对外界刺激和内部生化改变的中介物,在炎症诱发肿瘤的发生发展过程中发挥着重要作用^[6]。有研究显示,在肿瘤组织中转录因子 AP-1 的活性高于正常组织^[7],且 *c-Jun* 在肿瘤的发生发展过程中发挥重要调节作用^[8]。有研究证实 TNF- α 作为一个重要的调节开关可以调控 AP-1 通路,调节细胞的恶性变程度。此外,细胞的传代次数对细胞因子的成熟以及分泌也具有较为重要的影响。随着传代次数的增加,细胞因子的成分发生改变。有研究表明,随着成纤维细胞传代次数的增加,细胞内活性氧水平升高,不同代数的细胞对刺激物浓度的应激反应存在着差异。本实验拟通过构建不同代数 THP-1 细胞与 BEAS-2B 细胞的共培养模型,检测 THP-1 细胞对 CTPE 诱导 BEAS-2B 细胞 *c-Jun* mRNA 表达的影响。

1 材料与方法

1.1 主要试剂与仪器

RPMI-1640 培养基、胎牛血清(美国 Hyclone 公司), MX3000P Real-time PCR 仪(美国 Stratagene 公司), RNAios Plus 试剂、反转录试剂盒、Power 2×SYBR Real-Time PCR Premixture 试剂盒(大连宝生物公司)。CTPE 用课题组前期处理方法制备^[5]。

1.2 细胞培养

THP-1、BEAS-2B 细胞均购于美国模式菌种收集中心。细胞用含胎牛血清体积分数为 10% 的 RPMI-1640 培养液进行培养,3~4 d 传代 1 次。培养环境: 37℃ 恒温, CO₂ 5%, 湿度 95%。

1.3 分组与染毒处理

CC 组(BEAS-2B 与 THP-1 细胞按 30 : 1 比例共培养)与 BEAS-2B 组(单独 BEAS-2B 细胞)分别用 3 μ g/mL 的 CTPE 染毒^[9], 并设立二甲基亚砜(DMSO)对照组。细胞常规培养传代, 分别收集 1、5、10、15、20 代 BEAS-2B 细胞。

将 CC 组第 9 代细胞分为 3 组: 第 1 组长满后收集 BEAS-2B 细胞, 记为 CC10 组; 第 2 组常规培养至 15 代, 记为 CC15 组; 第 3 组每代加入 TNF- α 中和抗体, 终浓度为 100 μ g/mL, 培养至 15 代收集 BEAS-2B 细胞, 记为中和抗体组。另同步培养 BEAS-2B 细胞作

为对照组。

1.4 mRNA 表达量

采用 Real-time PCR 法, 根据 Genbank 中的 *c-Jun*、 *β -actin* 的基因序列由上海英骏生物技术有限公司合成设计特异性引物。引物序列: *c-Jun* 上游 5'-AAC GAC CTT CTA TGA CGA TGC CCT C-3'; 下游 3'-GCG AAC CCC TCC TGC TCA TCT GTC-5'; *β -actin* 上游 5'-AAT CTT GCG TGA CAT TAA GGA GAA-3'; 下游 3'-CAG GAA GGA AGG CTG GAA GAG T-5'。收集各组 BEAS-2B 细胞, 参照 RNAios Plus 试剂说明书提取总 RNA, 取 2 μ g 总 RNA 反转录为 cDNA。PCR 反应体系为: 2×Premix 10 μ L, ROX 0.4 μ L, cDNA 1 μ L, 上下游引物各 0.4 μ L, 用灭菌蒸馏水补至 20 μ L。反应条件: 95℃ 预变性 2 min; 95℃ 变性 20 s、60℃ 退火 20 s、72℃ 延伸 45 s; 共 40 个循环, 最后 72℃ 延伸 5 min。以 *β -actin* 作内参照, 计算 *c-Jun* mRNA 表达量。

1.5 统计学分析

采用 SPSS 12.0 软件进行统计分析, 数据以均数加减标准差($\bar{x} \pm s$)表示, 组间比较采用单因素方差分析, 组内两两比较采用最小显著差法, 对传代次数和不同处理因素间的交互作用采用析因设计分析。检验水准 $\alpha=0.05$ 。

2 结果

2.1 不同传代次数、处理因素对 *c-Jun* mRNA 表达的影响

对同一处理因素不同传代次数的 *c-Jun* mRNA 表达水平进行单因素方差分析, 对于 CTPE 组, 15、20 代 BEAS-2B 细胞 *c-Jun* mRNA 的表达水平均明显高于 1、5、10 代; 但 20 代和 15 代之间细胞 *c-Jun* mRNA 表达水平的差异没有统计学意义 ($P=0.087$); 对于 CC 组, 10、15、20 代 BEAS-2B 细胞 *c-Jun* mRNA 相对表达水平分别高于 1、5 代(均 $P<0.05$); 且随着传代次数增加, BEAS-2B 细胞 *c-Jun* mRNA 表达水平明显升高 (*c-Jun* mRNA 表达水平: 20 代 > 15 代 > 10 代)。见表 1。

对相同传代次数不同处理因素的数据进行分析, 各代 CC 组和 CTPE 组 BEAS-2B 细胞 *c-Jun* mRNA 相对表达水平均高于 DMSO 组, 差异具有统计学意义(均 $P<0.05$)。在 1 代和 5 代中, CTPE 组与 CC 组 BEAS-2B 细胞 *c-Jun* mRNA 相对表达水平差异均没有统计学意义(均 $P>0.05$), 在 10、15、20 各代中 CC 组 *c-Jun* mRNA 相对表达水平均高于 CTPE 组 ($P=0.003$, $P=0.001$, $P=0.004$)。见表 1。

表1 各组细胞c-Jun mRNA相对表达水平($n=3, \bar{x} \pm s$)

代数	DMSO对照组	CTPE组	CC组	F	P
1	1.02 ± 0.02	1.12 ± 0.05 [△]	1.15 ± 0.05 [△]	7.481	0.010
5	1.00 ± 0.06	1.15 ± 0.02 [△]	1.19 ± 0.04 [△]	20.615	0.002
10	1.00 ± 0.03	1.21 ± 0.02 [△]	1.34 ± 0.04 ^{#△}	86.338	0.001
15	1.02 ± 0.03	1.44 ± 0.03 ^{*△}	1.89 ± 0.05 ^{#△}	367.886	0.001
20	1.06 ± 0.10	1.53 ± 0.10 ^{*△}	2.15 ± 0.12 ^{#△}	73.843	0.001
F	0.819	33.884	133.114	—	—
P	0.542	0.001	0.001	—	—

[注]不同传代次数, #: 与其他各代比较, $P < 0.05$; *: 与1、5、10代比较, $P < 0.05$ 。不同处理因素, ▲: 与CTPE组比较, $P < 0.05$; △: 与DMSO组比较, $P < 0.05$ 。

进一步对细胞传代次数和不同处理因素间进行析因分析, 结果表明二者呈正相关($r=0.902, P=0.001$)。随着细胞传代次数的增加, CTPE组和CC组BEAS-2B细胞c-Jun mRNA表达水平随之升高($P=0.001$), 且CC组c-Jun mRNA表达水平高于CTPE组, 代数和处理因素之间存在交互作用($P=0.001$), 见表2。

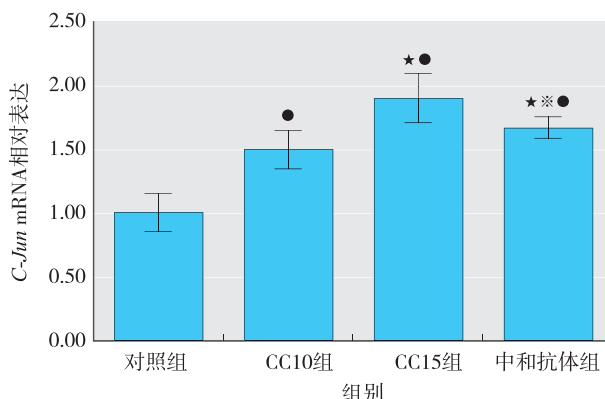
表2 不同代数与不同处理因素间的析因分析

源	F	P
代数	14.046	0.001
处理因素	22.850	0.001
代数 × 处理因素	5.722	0.001

[注] $r=0.902$ 。

2.2 中和抗体组c-Jun mRNA相对表达水平

与对照组比较, CC10、CC15与中和抗体组c-Jun mRNA的相对表达量均升高($P < 0.05$)。中和抗体组c-Jun mRNA相对表达水平平均高于CC10组, 低于CC15组细胞, 差异均有统计学意义($P=0.004, P=0.001$), 见图1。



[注]●: 与对照组细胞比较, $P < 0.05$; ★: 与CC10代细胞比较, $P < 0.05$;
*: 与CC15代细胞比较, $P < 0.05$ 。

图1 各组细胞c-Jun mRNA相对表达水平

3 讨论

TNF-α是一种由多核巨细胞分泌的具有广泛生物活性的细胞因子。作为重要的炎症因子, 其可以通过活化其他炎症因子来促进炎症的发展, 而炎症的发展又能促进TNF-α的活化^[10]。TNF-α一方面具有调节机体免疫功能的作用, 另一方面可以介导炎症过程、组织损伤等病理生理反应。TNF-α可以通过JNK/c-Jun信号通路调节AP-1的表达水平^[11]。AP-1作为重要的核转录激活因子, 在肿瘤的发生和发展过程中具有重要意义^[12]。在体内体外实验中均证实细胞的恶性增殖和转化与c-Jun/c-Fos过表达有关联, 抑制AP-1的过表达可成为某些肿瘤治疗的方法之一。

在本课题中, 建立THP-1与BEAS-2B细胞的共培养模型。CTPE刺激后, 1、5、10、15、20代CC组BEAS-2B细胞中c-Jun mRNA的相对表达水平均高于DMSO对照组, 10、15代CC组高于CTPE组。提示在同代细胞中, THP-1细胞与BEAS-2B细胞共培养能够上调c-Jun mRNA的表达水平。

CTPE组15代和20代BEAS-2B细胞c-Jun mRNA表达水平的差异无统计学意义; 在CTPE组和CC组中, 15、20代BEAS-2B细胞c-Jun mRNA的表达水平均高于1、5、10代细胞, 差异均具有统计学意义。提示随着代数的增长, 细胞恶性变的程度可能增加。为了明确细胞传代数对处理因素有无干扰作用, 本研究进行了析因分析, 结果显示代数与处理因素之间不存在交互作用($P < 0.001$), 传代数对处理因素的干扰可以忽略不计。

课题组前期试验中已证实, CTPE刺激THP-1后可分泌大量TNF-α。加入TNF-α中和抗体后, 中和抗体组BEAS-2B细胞c-Jun mRNA的表达水平低于CC15组, 而高于CC10组, 说明TNF-α可以促使c-Jun mRNA表达水平的上升, 表明THP-1细胞上调了CTPE处理BEAS-2B细胞产生c-Jun mRNA的表达水平。THP-1细胞受到刺激时可以分泌大量的促炎细胞因子TNF-α, TNF-α作为信号分子激活下游JNK, 从而使c-Jun表达水平上调^[13]。

本实验还存在着不足之处, 虽然实验结果提示TNF-α对c-Jun mRNA的表达水平的具有调控作用, 但其具体调控机制有待于进一步的探讨和验证。

综上所述, CTPE可诱导BEAS-2B细胞c-Jun mRNA的表达, THP-1细胞可能通过TNF-α上调CTPE诱导的c-Jun mRNA表达水平。

·作者声明本文无实际或潜在的利益冲突。

参考文献

- [1] 吴逸明, 李卫民, 李卓炜, 等. 大鼠肺癌发生发展动物模型的构建 [J]. 河南医科大学学报, 2000, 35(3): 232-235.
- [2] Proctor MJ, Morrison DS, Talwar D, et al. An inflammation-based prognostic score (mGPS) predicts cancer survival independent of tumor site: a Glasgow Inflammation Outcome Study [J]. Br J Cancer, 2011, 104(4): 726-734.
- [3] Wu Y, Zhou B P. TNF-alpha/NF-kappaB/Snail pathway in cancer cell migration and invasion [J]. Br J Cancer, 2010, 102(4): 639-644.
- [4] Elinav E, Nowarski R, Thaiss C A, et al. Inflammation-induced cancer: crosstalk between tumors, immune cells and microorganisms [J]. Nat Rev Cancer, 2013, 13(11): 759-771.
- [5] 周凡静, 张少峰, 冯斐斐, 等. 单核巨噬细胞在煤焦沥青烟提取物诱导永生化人支气管上皮细胞恶变中的作用 [J]. 中华劳动卫生职业病杂志, 2012, 30(4): 241-245.
- [6] Shaulian E. AP-1—The Jun proteins: Oncogenes or tumor suppressors in disguise? [J]. Cell Signal, 2010, 22(6): 894-899.
- [7] Peterziel H, Müller J, Danner A, et al. Expression of podoplanin in human astrocytic brain tumors is controlled by the PI3K-AKT-AP-1 signaling pathway and promoter methylation [J]. Neuro Oncol, 2012, 14(4): 426-439.
- [8] Li Y, Kundu P, Seow S W, et al. Gut microbiota accelerate tumor growth via *c-Jun* and STAT3 phosphorylation in APCMin/+ mice [J]. Carcinogenesis, 2012, 33(6): 1231-1238.
- [9] 李智涛, 燕贞, 赵勇, 等. 煤焦沥青烟提取物致支气管上皮细胞系恶性转化细胞中 Bub1 和 Mad2 表达水平改变 [J]. 中国职业医学, 2010, 37(6): 454-457.
- [10] 夏娟, 李冬, 郑伟萍, 等. 炎症与肿瘤的关系研究进展 [J]. 国际检验医学杂志, 2013, 34(1): 63-65.
- [11] Wagner E F. Bone development and inflammatory disease is regulated by AP-1(Fos/Jun)[J]. Ann Rheum Dis, 2010, 69 (Suppl 1): i86-i88.
- [12] Duan G J, Zhu J, Wan J Y, et al. A synthetic MD-2 mimetic peptide attenuates lipopolysaccharide-induced inflammatory responses *in vivo* and *in vitro* [J]. Int Immunopharmacol, 2010, 10(9): 1091-1100.
- [13] 王静波, 惠延年, 关娟, 等. 肿瘤坏死因子上调人视网膜色素上皮细胞 *c-Jun* 的表达 [J]. 重庆医科大学学报, 2010, 35(1): 51-53.

(收稿日期: 2014-08-04)

(英文编辑: 汪源; 编辑: 王晓宇; 校对: 丁瑾瑜)

【告知栏】

《环境与职业医学》杂志再次入选中文核心期刊

依据文献计量学的原理和方法, 经研究人员对相关文献的检索、统计和分析, 以及学科专家评审, 《环境与职业医学》杂志入编《中文核心期刊要目总览 2014 年版》之预防医学、卫生学类的核心期刊, 即连续第七次入选中文核心期刊。

《环境与职业医学》杂志 (http://jeom.scdc.sh.cn:8081), 原名《劳动医学》, 创刊于 1984 年, 由上海市卫生和计划生育委员会主管, 上海市疾病预防控制中心、中华预防医学会主办, 系中华预防医学会系列杂志。国际连续出版物号: ISSN 2095-9982; CODEN HYZYAZ; 国内统一连续出版物号: CN 31-1879/R。

《环境与职业医学》杂志衷心感谢各位编委、审稿专家、作者和读者对本刊的支持! 热忱希望广大读者、作者、专家一如既往支持本刊工作, 踊跃投稿!